The background of the slide is a light gray with a complex geometric pattern. It features a network of thin gray lines connecting various points, some of which are solid black dots. Scattered throughout the background are numerous triangles of different sizes and orientations, some outlined in gray and others in a lighter shade. The overall aesthetic is technical and modern, suggesting a focus on geometry or computer graphics.

Разработка бортовой системы навигации и ориентации на основе SLAM модели

КФ МГТУ им. Н.Э. Баумана
Р.И. Гришин
e-mail: mr.grischinroman@yandex.ru

Калуга, 2020

Постановка задачи

Цель работы: разработать бортовую систему навигации и ориентации на основе SLAM модели.

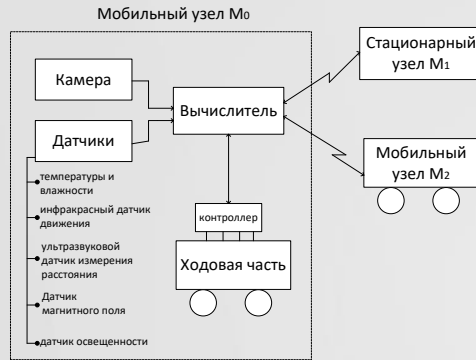


Рисунок 1 – Структурная схема мобильного узла

Ограничения:

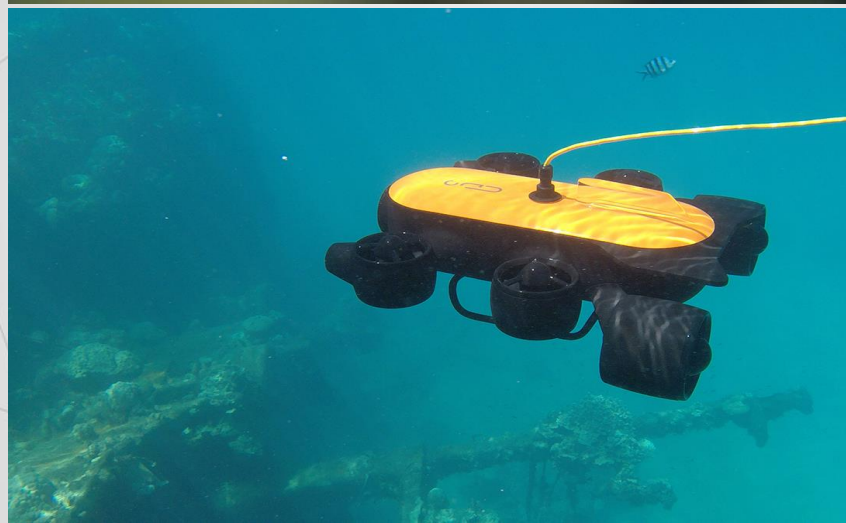
- работа в замкнутом помещении
- невысокая производительность
- низкая скорость движения

Задачи:

- Выполнить анализ алгоритмов SLAM;
- Разработать стенд для экспериментальной проверки решений;
- Разработать схему эксперимента;
- Провести эксперимент и выполнить анализ полученных результатов.

Актуальность (область применения):

- обнаружение задымления в помещении и оповещение о ЧП;
- функционирование систем ПВО на базе сочлененных гусеничных машин;
- проведение работ в среде, непригодной для нахождения в ней человека;
- обслуживание социальной и бытовой сферы;
- транспортировка грузов в складских помещениях;
- выполнение подзадач системы «умного дома»;
- автоматизации видеонаблюдения;



Анализ методов позиционирования и картирования

2

- **Метод инвариантных моментов**

Основывается на теории алгебраических инвариантов Ху [19]

Алгоритм содержит следующие этапы:

- 1) определение центральных моментов порядка не выше третьего;
- 2) получение моментов, инвариантных к операциям поворота, переноса и зеркального отображения;
- 3) получение моментов, инвариантных к полной группе аффинных преобразований:

$$M'_1 = r \cdot h, \quad M'_2 = \frac{M_2}{r^4}, \quad M'_3 = \frac{M_3}{r^6}, \dots \quad (1)$$

- **Бесплатформенная инерциальная система (БИС)**

Инерциальная навигация - метод навигации, основанный на свойствах инерции тел, являющийся автономным, не требующим наличия внешних ориентиров или поступающих извне сигналов.

Сущность инерциальной навигации состоит в определении ускорения объекта и его угловых скоростей с помощью установленных на движущемся объекте приборов и устройств.

[19]Hu M. K. Visual pattern recognition by moment invariants. – IRE Transactions on Information Theory 8, 1962, pp. 179-187

Анализ методов позиционирования и картирования

3

Reinforcement Learning (обучение с подкреплением)

Агент обучается взаимодействуя со средой.

Откликом среды на принятые решения являются сигналы подкрепления, поэтому такое обучение является частным случаем обучения с учителем, но учителем является среда или её модель.

- SLAM (Simultaneous Localization and Mapping) – алгоритм одновременного картирования и локализации

--Шаг 1: Предсказательный

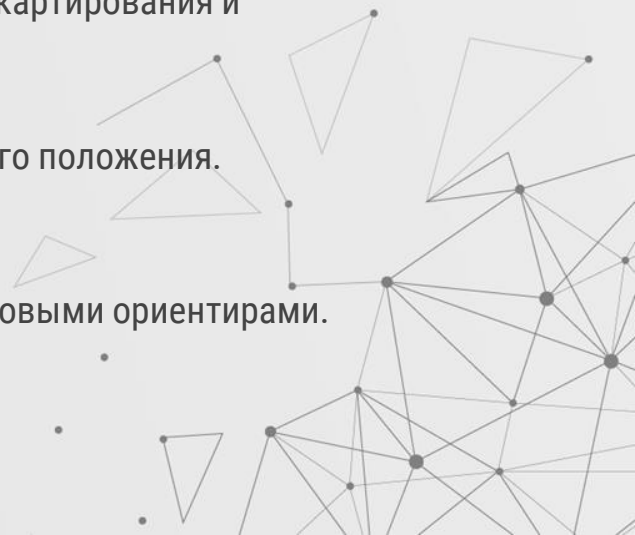
Используем данные, полученные с датчиков, чтобы вычислить оценку её нового положения.

--Шаг 2: Обновление состояния из повторно наблюдаемых ключевых точек

--Шаг 3: Добавление новых ориентиров в текущее состояние

На данном шаге обновим вектор состояния X и ковариационную матрицу P с новыми ориентирами.

Цель – увеличить количество ключевых точек.



Термины и определения

- **SLAM** (*Simultaneous Localization and Mapping*) – одновременное вычисление позиции робота и построение карты окружения
- **Localization** – обнаружение позиции робота
- **Mapping** – построение карты окружения
- **VSLAM** (*Visual Simultaneous Localization and Mapping*) – метод SLAM, использующий в качестве датчика оптическую систему
- **Особая точка** — точка на изображении, окрестность которой выделяется среди остального изображения
- **Ориентир** — точка в пространстве, изображение окрестности которой было классифицировано как особая точка на нескольких кадрах

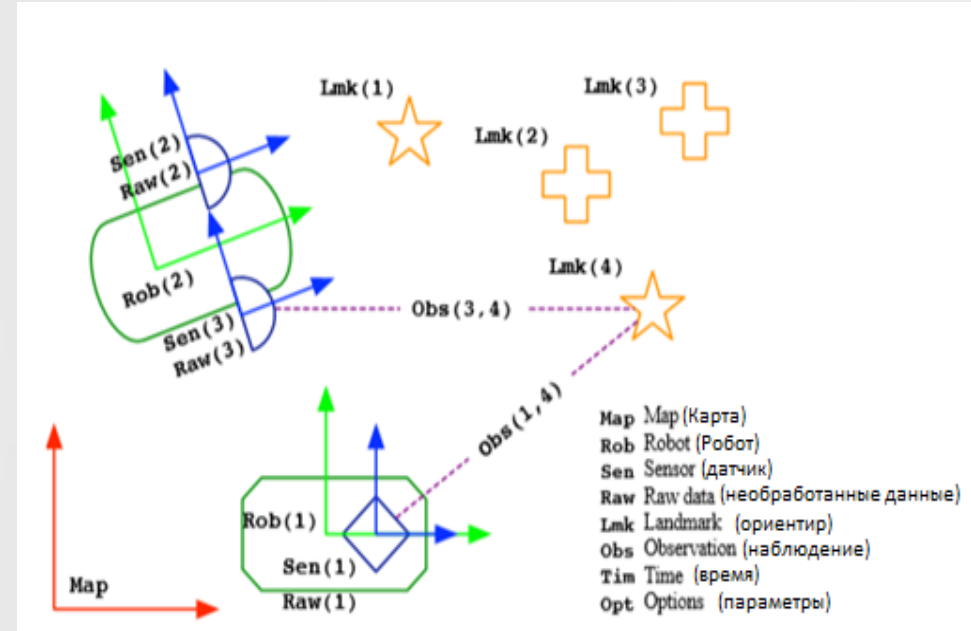


Рисунок 4 – Схема работы алгоритма

Шаг 1: Предсказательный - обновление данных, с использованием одометрии

Вектор оценки текущего местоположения X_p и ковариационная матрица P_p

$$X_p = [x_p \quad y_p \quad \varphi_p]^T \quad (2)$$

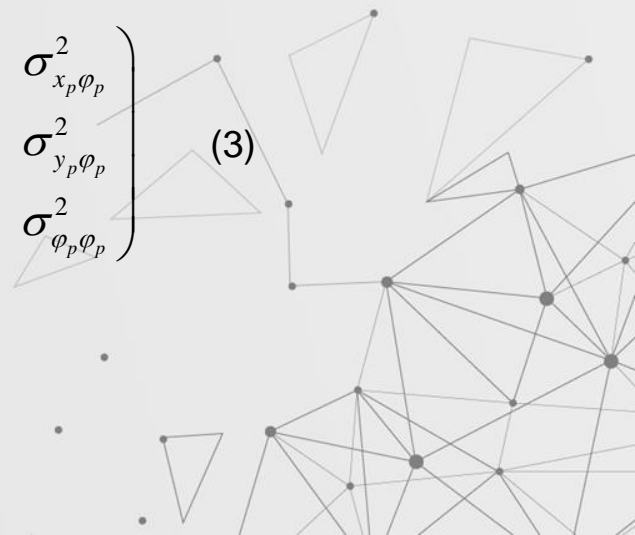
x_p – оценка координаты робота по оси абсцисс,

y_p – оценка координаты робота

по оси ординат,

φ_p – оценка ориентации робота

$$P_p = \begin{pmatrix} \sigma_{x_p x_p'}^2 & \sigma_{x_p y_p}^2 & \sigma_{x_p \varphi_p}^2 \\ \sigma_{x_p y_p}^2 & \sigma_{y_p y_p}^2 & \sigma_{y_p \varphi_p}^2 \\ \sigma_{x_p \varphi_p}^2 & \sigma_{y_p \varphi_p}^2 & \sigma_{\varphi_p \varphi_p}^2 \end{pmatrix} \quad (3)$$



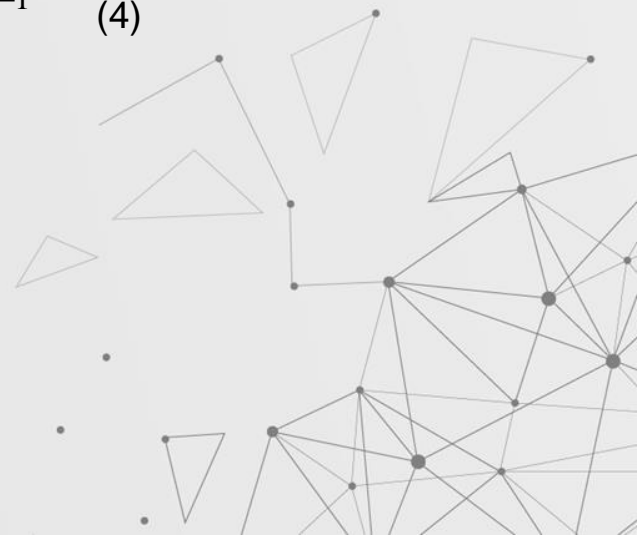
Шаг 2: Обновление состояния из повторно наблюдаемых ключевых точек

Коэффициент Калмана (4) содержит информацию о количестве ориентиров и позиций робота которые должны быть обновлены в соответствии с повторно наблюдаемыми ориентирами.

X - новый вектор состояния (5)

$$K = P \cdot H^T \cdot (H \cdot P \cdot H^T + V \cdot R \cdot V^T)^{-1} \quad (4)$$

$$X = X + K \cdot (z - h) \quad (5)$$



Математический аппарат

7

Шаг 3: Добавление новых ориентиров в текущее состояние

добавляем в вектор оценки состояния системы два новых элемента – оценку x и y координат обнаруженного ориентира (5)

$$X_k = \begin{bmatrix} X_k \\ f_i(X_{pk}, z_i) \end{bmatrix} \quad (5)$$

A			E			
						
						
D			B		G	
						
...
...
			F		C	
						

Рисунок 5 - Общий вид матрицы P

Метод VSLAM: ORB-SLAM

8

- Tracking – отслеживание кадров.
- Local Mapping – выполняет построение карты вблизи текущего положения камеры и оптимизирует карту.
- Loop Closing – алгоритм замыкания циклов, который ищет и объединяет похожие кадры.

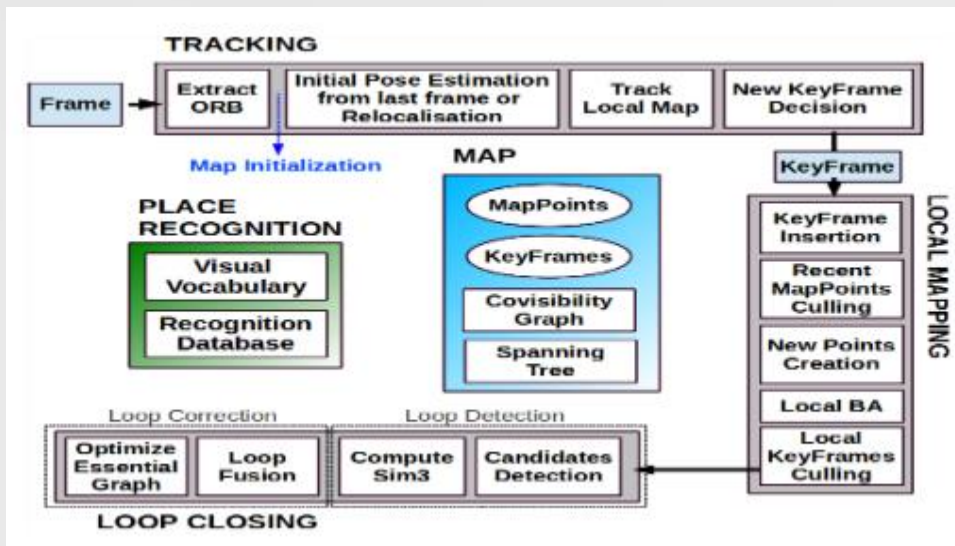


Рисунок 6 – Основные компоненты ORB-SLAM [23]

Метод VSLAM: LSD-SLAM

9

- tracking непрерывно отслеживает новые изображения с камеры и определяет перемещение камеры.
- depthmapestimation сравнивает новый кадр с текущим, а затем уточняет или полностью заменяет текущий кадр.
- mapoptimization выполняет оптимизацию карты.

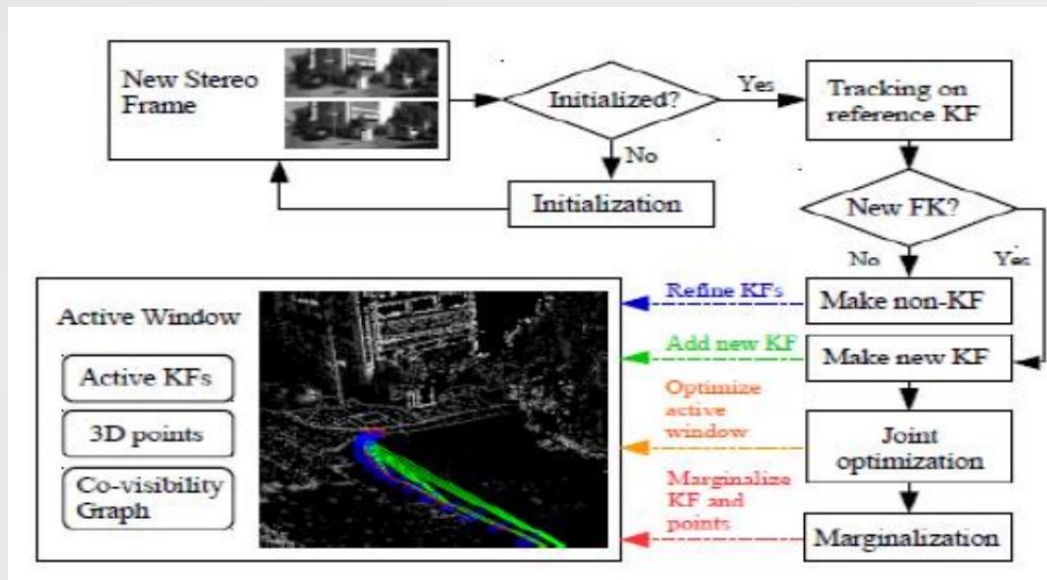


Рисунок 7 – Основные компоненты LSD-SLAM [28]

Таблица 1 – Сравнительная характеристика алгоритмов ORB и LSD-SLAM

Параметр	ORB-SLAM	LSD-SLAM
Открытый исходный код	+	+
Интеграция с ROS*	+	-
Поддерживаемые типы видеосенсоров	Монокамерные, стереокамерные, RGB-D оптические системы	Монокамерные оптические системы
Ресурсоемкость	низкая	высокая
Карта глубины	разреженная	плотная

*ROS - (*Robot Operating System*) – фреймворк для программирования роботов

Как оценить работу SLAM:

- Использовать истинные данные;
- Использовать «псевдоистинные данные» - сравнение с другим источником (например лидар)
- Сравнение результатов по коэффициенту NEES

Гомогенная точка: $L_{HP} = \underline{p} = \begin{bmatrix} m \\ \rho \end{bmatrix} = [m_x \ m_y \ m_z \ \rho]^T \in P^3 \quad (6)$

Закрепленная однородная точка: $L_{AHP} = \begin{bmatrix} P_0 \\ m \\ \rho \end{bmatrix} = [x_0 y_0 z_0 m_x m_y m_z \rho]^T \quad (7)$

Привязанные модифицированные полярные точки: $L_{AMPP} = \begin{bmatrix} P_0 \\ (\varepsilon, \alpha) \\ \rho \end{bmatrix} = [x_0 y_0 z_0 \alpha \rho]^T \quad (8)$

NEES (normalized estimation error squared)
нормализованная ошибка оценки в квадрате

$$\eta_k = \frac{1}{N} \sum_{j=1}^N (C_k - \hat{C}_k^j)^T P_k^{j-1} (C_k - \hat{C}_k^j) \quad (9)$$



ТЕХНИЧЕСКИЕ ХАРАКТЕРИСТИКИ

Оценка доступности ресурсов

Таблица 2 – Характеристики платы

Процессор	Broadcom BCM2837B0, Cortex-A53 64-bit SoC @ 1.4GHz
Память	1GB LPDDR2 SDRAM
Интерфейсы	2.4GHz and 5GHz IEEE 802.11.b/g/n/ac wireless LAN, Bluetooth 4.2, BLE Gigabit Ethernet over USB 2.0 4 × USB 2.0
Порты	Extended 40-pin GPIO header
Видео/звук	1 × full size HDMI MIPI DSI дисплей порт MIPI CSI порт для подключения камеры
Мультимедиа	H.264, MPEG-4 decode (1080p30); H.264 encode (1080p30); OpenGL ES 1.1, 2.0 graphics
Поддержка SD карты	Формат Micro SD для загрузки операционной системы и хранилище данных (не рекомендуется больше 16 Гб)
Питание	5V/2.5A DC via micro USB connector 5V DC via GPIO header Power over Ethernet (PoE)–enabled (requires separate PoE HAT)
Связь	Wi-Fi, Ethernet (RJ-45);
Размеры	Длина 85 мм Ширина 56 мм.

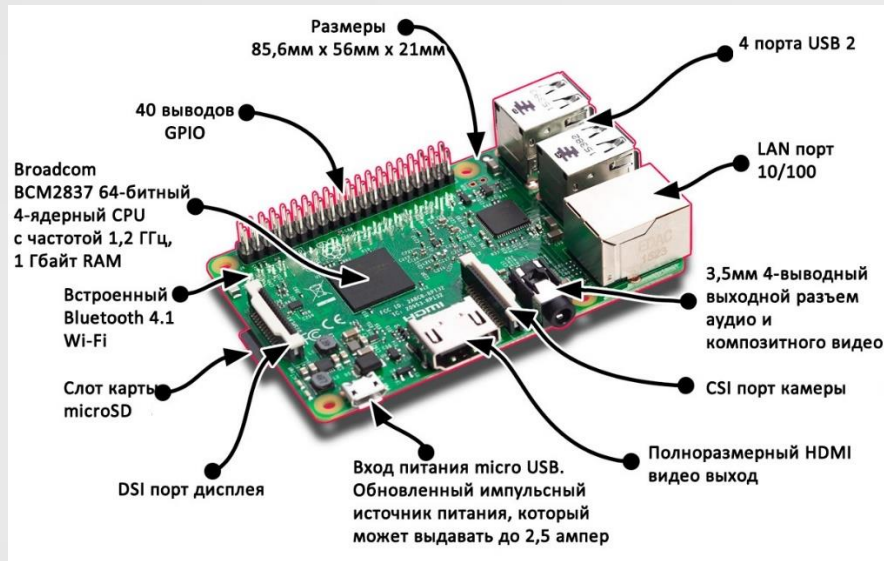


Рисунок 8 – Состав Raspberry Pi 3B+

Структурные схемы алгоритмов

13

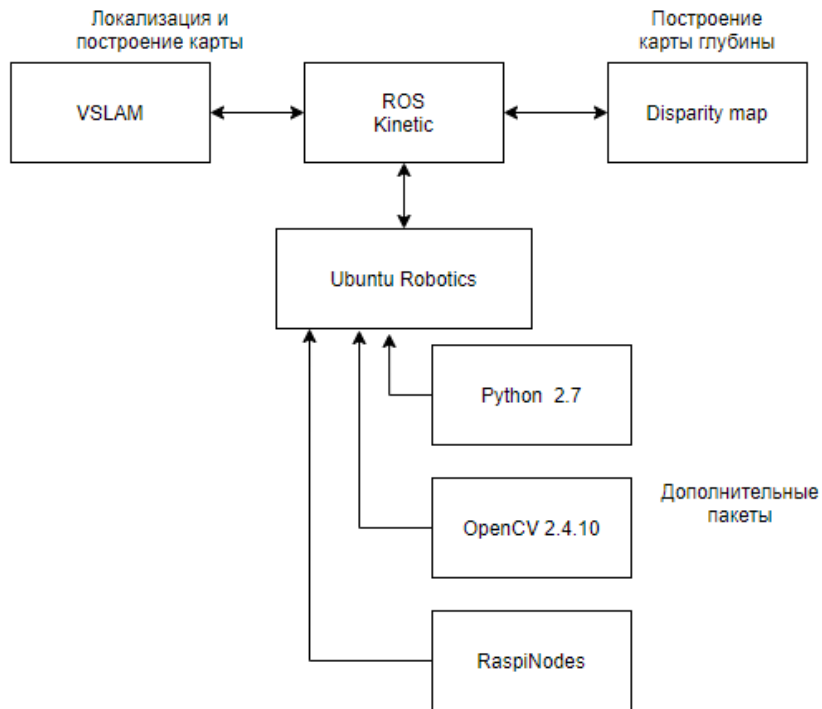


Рисунок 9 – Схема взаимодействия компонентов ПО

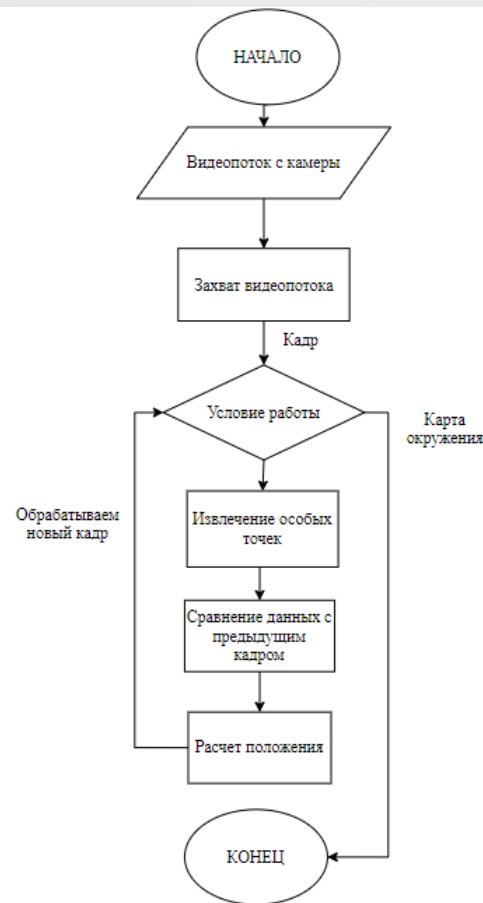


Рисунок 10 – Схема решения задачи

Моделирование

14

- Создали шаблонное окружения для тестирования навигации
- Создали шаблонного робота
- Подключили алгоритм SLAM
- Настроили конфигурационные файлы
- Запустили в ручном и автоматическом режиме

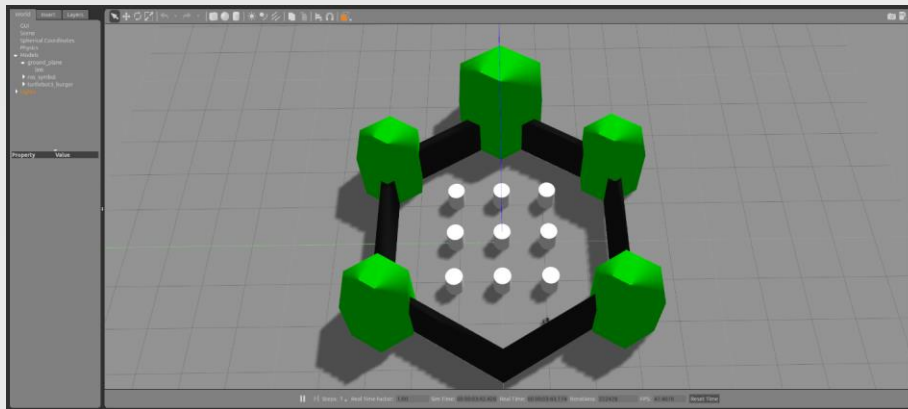
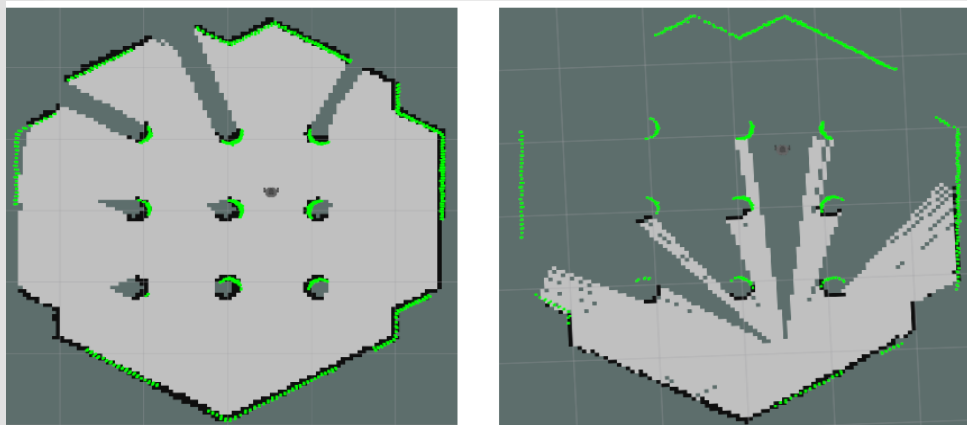


Рисунок 9 – Карта окружения



← Рисунок 10 –
Исследование карты
объектом

Результаты моделирования

TurtleBot3 полностью исследовал сцену за 68 минут и проехал в общей сложности 358 м.

Ошибка вычисления собственного положения

Конечные координаты, см	Расстояние между начальными и конечными координатами, см	Пройденный путь, см	Погрешность, %
(3,-1)	3,16	100	3,16
(5,2)	5,38	200	2,69
(-4,6)	7,2	300	2,4
(5,7)	8,6	400	2,15
(-3,-4)	5	500	1
(-8,7)	10,63	600	1,77
(8,12)	14,4	700	2,05
(-9,9)	12,72	800	1,59
(10,12)	15,62	900	1,73
(14,9)	16,64	1000	1,66

Ошибка вычисления расстояния

Реальное расстояние, см	Вычисленное расстояние, см	Ошибка, %
50	49,1	1,8
80	79,3	0,875
110	110,3	0,27
140	141	0,7
170	172,2	1,29
200	203,8	1,9
230	235,4	2,3

--Для идеальных данных: Средняя относительная погрешность вычисления собственного положения составляет 2,02%, наибольшая относительная погрешность составляет 3,16%.

Разработка и настройка стенда

16

Классическая калибровка методом Р. Тсая

$$param = \begin{pmatrix} f_x & a_{12} & c_x \\ 0 & f_y & c_y \\ 0 & 0 & 1 \end{pmatrix} \quad (10)$$

$$distorsion = [k_1, k_2, p_1, p_2, k_3] \quad (11)$$

Метод состоит из 2 – х этапов:

1. Определение параметров внешней калибровки
2. Определение параметров внутренней калибровки и дисторсии.



Рисунок 11 – Калибровочный шаблон



Рисунок 12 – Мобильная платформа

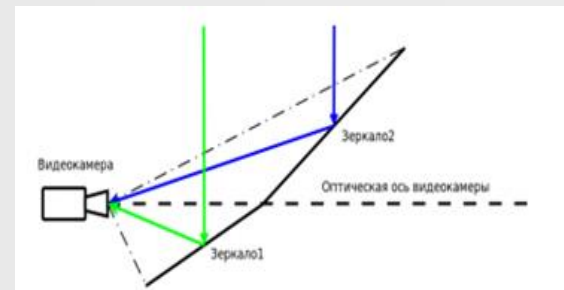


Рисунок 13 – Система зеркал

Реализация SLAM на Raspberry – Stereo Mode

17

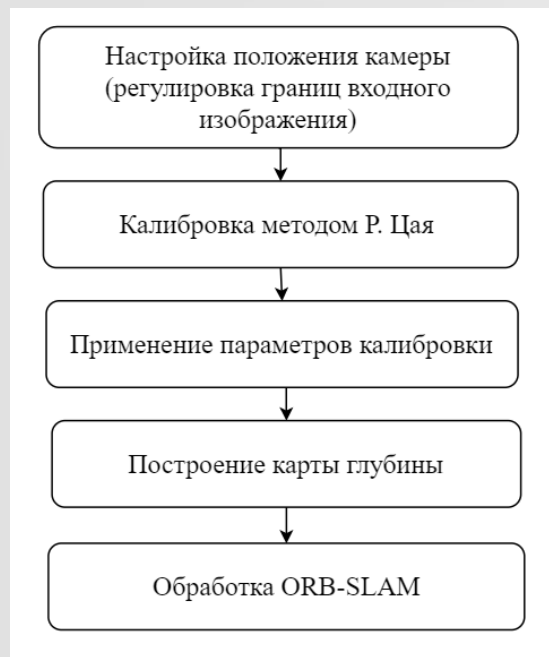


Рисунок 14 – Схема эксперимента

Рисунок 15 –
Изображение с
пары камер ->

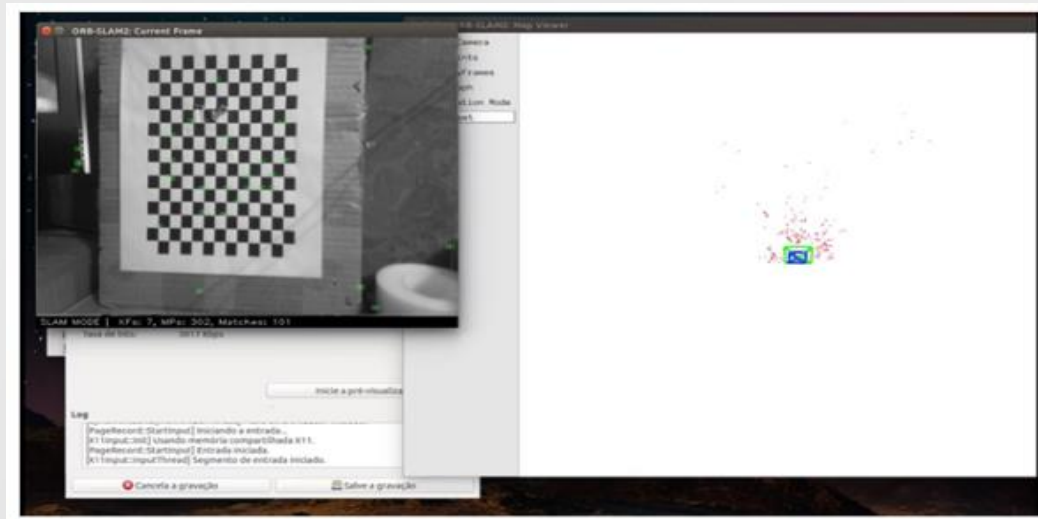
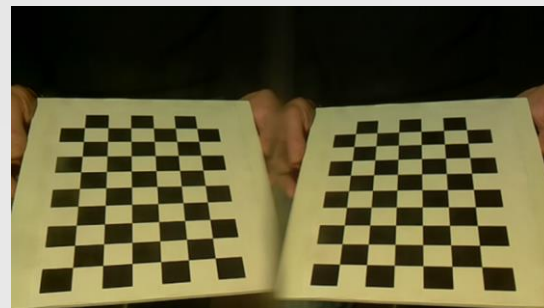


Рисунок 16 – Карта окружения

Реализация SLAM на Raspberry – Monocam

18

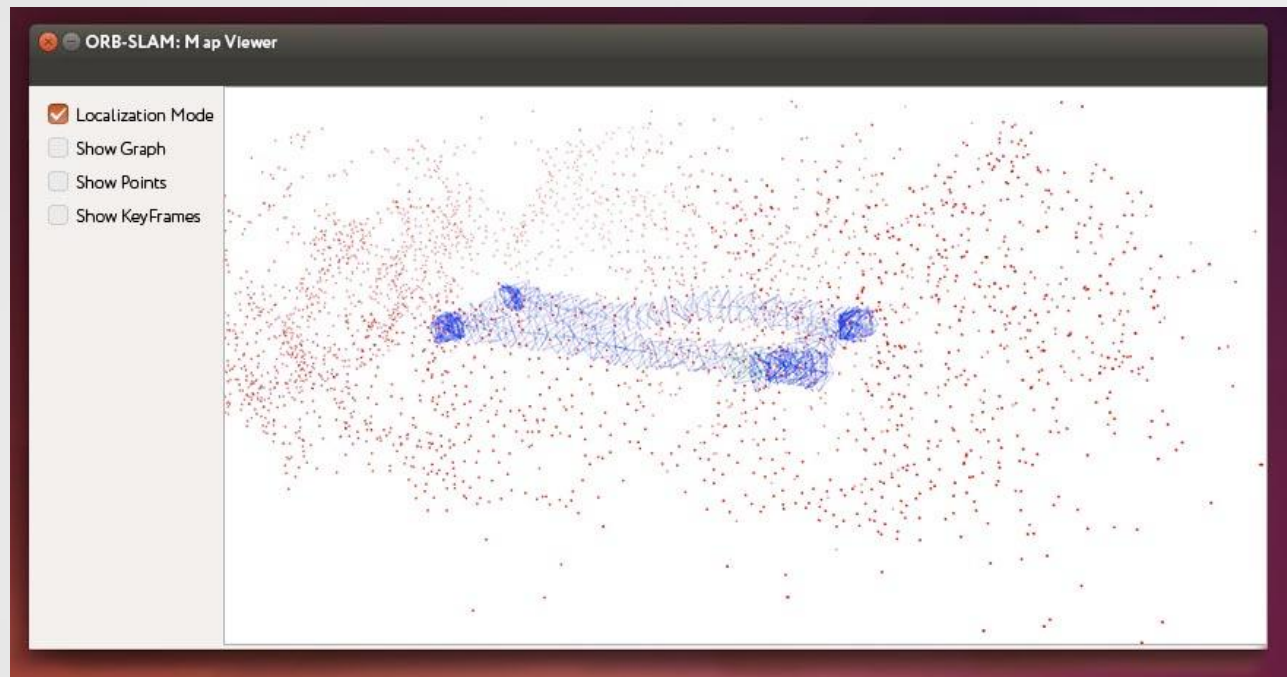
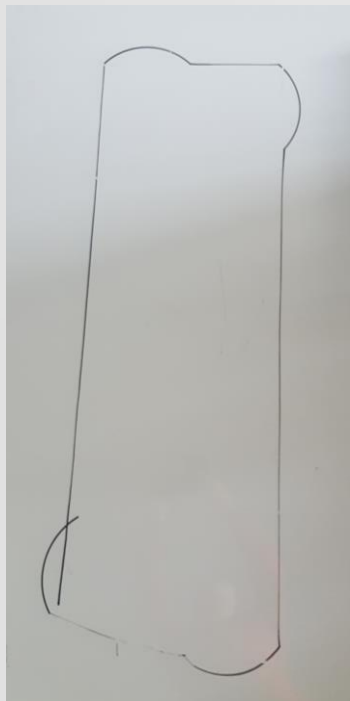


Рисунок 17 – Карта окружения и траектория

Анализ результатов

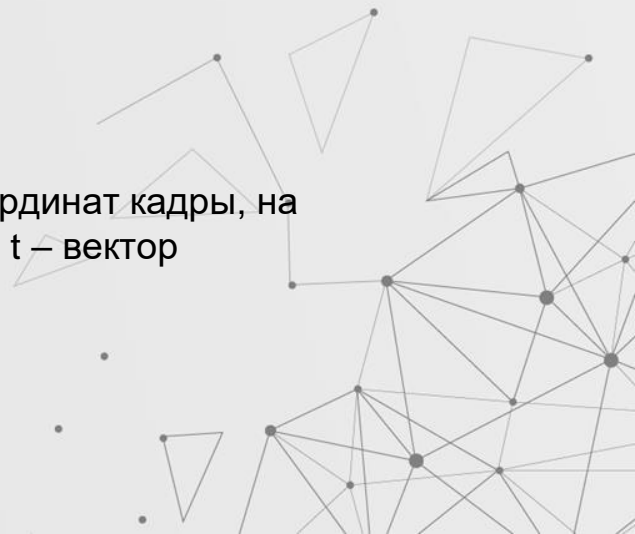
Получить 3D точку в системе координат кадра:

$$\begin{aligned}x &= (u * f_{xi} + c_{xi}) * depth \\y &= (v * f_{yi} + c_{yi}) * depth \\z &= dept * (1 + 2 * sqrt(f_{xi} + f_{yi} * f_{yi}))\end{aligned}\tag{10}$$

где u, v – координаты точки на кадре, $idepth$ – обратная глубина. f_{xi}, f_{yi} - инверсные фокусные расстояния камеры, c_{xi}, c_{yi} - инверсные положения центра камеры

Получить точку в глобальной системе координат:

Для этого необходимо умножить координаты точки в системе координат кадры, на матрицу преобразования – $[R|t]$, где R – матрица поворота кадра, t – вектор смещения кадра.



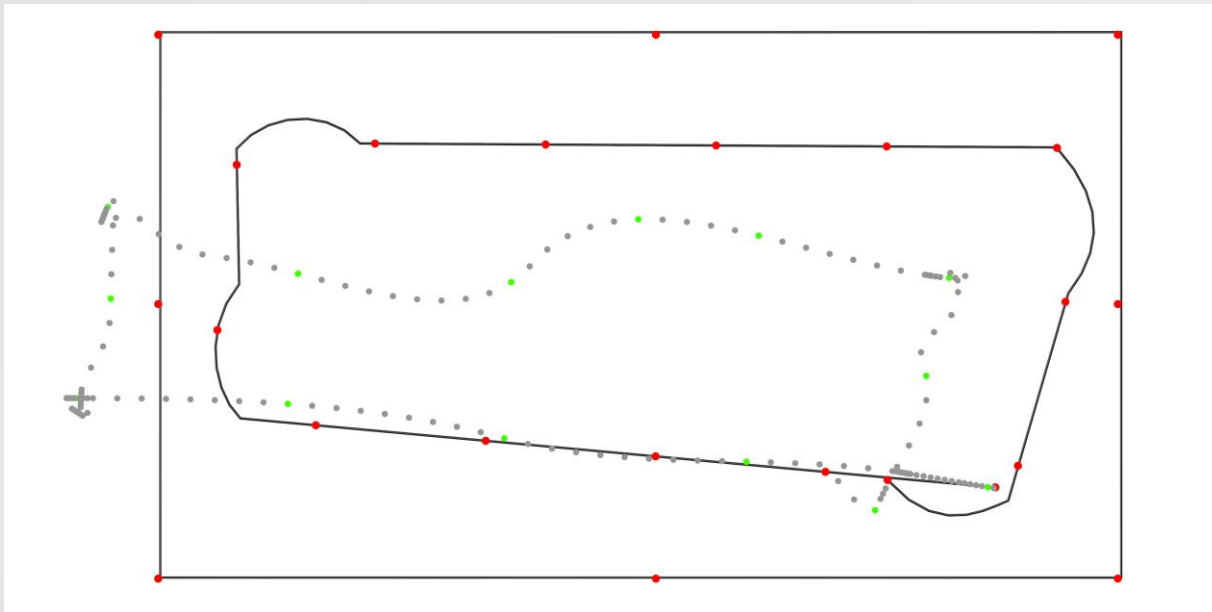


Рисунок 18 – Сравнение траекторий

- Время обработки ~1500 кадров составило 12 минут
- Максимальная ошибка составила: 35,168 см
- Минимальная ошибка составила: 2,149 см

СПАСИБО ЗА ВНИМАНИЕ!

